

описанных в [1]. AcOMe марки ч.д.а. высушивали при температурах: AcOLi – 105°, AcONa – 120°, AcOK и AcOCs – 150° до содержания влаги <0,1% и запаивали в тонкостенных стеклянных ампулах.

Всесоюзный научно-исследовательский  
институт синтетических смол

Поступила в редакцию  
5 VII 1977

## ЛИТЕРАТУРА

1. З. Н. Медведь, Н. А. Старикова, О. Г. Тараканов, А. К. Житинкина, Высокомолек. соед., Б19, 76, 1977.
2. В. А. Рабинович, З. Я. Хавин, Краткий химический справочник, «Химия», 1977, стр. 22.
3. В. И. Словецкий, А. Ф. Баскакова, Изв. АН СССР, серия химич., 1975, 1484.
4. К. П. Мищенко, Г. М. Полторацкий, Вопросы термодинамики и строения водных и неводных растворов электролитов, «Химия», 1968, стр. 80.
5. П. А. Скевичевский, Ж. физ. химии, 49, 181, 1975.
6. И. Смид, Успехи химии, 42, 799, 1973.
7. Дж. Стайс, Химическая связь и строение, «Мир», 1966, стр. 86.
8. З. Н. Медведь, Н. А. Старикова, А. К. Житинкина, О. Г. Тараканов, Н. А. Толстых, Сб. Синтез и физико-химия полимеров, «Наукова думка», 1976, вып. 18, стр. 39.

УДК 541.64 : 539.199 : 532.72 : 543.422.23

## ИЗУЧЕНИЕ САМОДИФФУЗИИ МАКРОМОЛЕКУЛ ПОЛИСТИРОЛА В РАСТВОРЕ ИМПУЛЬСНЫМ МЕТОДОМ ЯМР

Пименов Г. Г., Стежко А. Г., Азанчеев Н. М.,  
Скирда В. Д.

Диффузионные процессы в растворах определяются подвижностью смешиваемых компонент и их взаимной совместимостью. Непосредственной характеристикой подвижности являются коэффициенты самодиффузии  $D$ . Исследование диффузионного переноса молекул растворителя посвящено большое количество работ, в то же время самодиффузия макромолекул в концентрированных растворах, где проявляется сильное межцепное взаимодействие, еще недостаточно изучена как в теоретическом, так и в экспериментальном отношении.

В данной работе представлены результаты исследования методом ЯМР самодиффузии ПС различной молекулярной массы в  $\text{CCl}_4$  при 30°.

Концентрацию  $c$  исследуемых растворов меняли от 2,5 до 30 г/дл. Фракции со средневязкостными молекулярными массами  $M_v \cdot 10^{-3} = 25, 40, 100, 220$  и 360 были получены методом дробного осаждения из 2%-ного раствора блочного ПС радикальной полимеризации и промышленного суспензионного ПС. В качестве растворителя использовали бензол, осадителем служил метanol. Выделенные фракции высушивали вначале из замороженного состояния при давлении  $5 \cdot 10^{-2}$  тор, а затем при 100° и том же давлении. Исследуемые растворы готовили непосредственно в ампулах, а их концентрацию определяли взвешиванием после запаивания ампул. Перед измерениями образцы выдерживали в течение 3 час. при 80°.

Коэффициенты самодиффузии измеряли на импульсном ЯМР-спектрометре [1] методом импульсного градиента магнитного поля [2] и вычисляли по формуле

$$\ln [A(g)/A(0)] = -D \gamma^2 g^2 \delta^2 (\Delta - \delta/3), \quad (1)$$

где  $\gamma$  — гиromагнитное отношение протона,  $A(g)$  и  $A(0)$  — амплитуда эхо-сигналов после 90—180° радиочастотных импульсов при наличии и отсутствии прямоугольных импульсов градиента магнитного поля амплитудой  $g$  и длительностью  $\delta$ . Время  $\Delta$  между импульсами градиента магнитного поля меняли в зависимости от времени поперечной релаксации образцов от 7 до 15 мсек, длительность  $\delta$  — от 4 до 8 мсек. Максимальное значение амплитуды импульсных градиентов магнитного поля равно 200 гс/см. Точность измерений коэффициентов  $D$  в наиболее неблагоприятных условиях равна 20%. Температура в объеме образца ( $\sim 1 \text{ см}^3$ ) отличалась не более чем на 0,1° при 30°.

Концентрационные зависимости коэффициентов самодиффузии макромолекул ПС различной молекулярной массы  $M$  в четыреххлористом углероде показаны на рис. 1. Видно, что для низкомолекулярных фракций  $M \leq 40 \cdot 10^3$  практически сохраняется линейная зависимость  $\lg D$  от  $c$  в исследуемой области концентраций. С увеличением  $M$  линейность этих зависимостей нарушается, однако и в этом случае для малых концентраций изменение  $\lg D$  также может быть аппроксимировано линейным участком. Аналогичное поведение коэффициентов самодиффузии полиэтиленоксида и полиметилсилоксана в растворах было получено в работе [3].

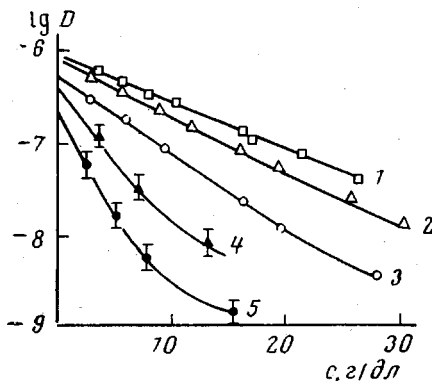


Рис. 1

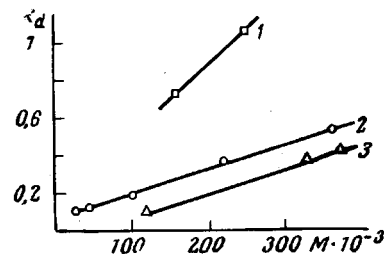


Рис. 2

Рис. 1. Концентрационные зависимости коэффициента самодиффузии макромолекул ПС в  $\text{CCl}_4$  различной молекулярной массы  $M \cdot 10^{-3} = 25$  (1), 40 (2), 100 (3), 220 (4) и 360 (5) при  $30^\circ$

Рис. 2. Зависимость параметра  $k_d$  от  $M$  для растворов ПС в толуоле [5] (1), четыреххлористом углероде [2] (2) и метилэтилкетоне [5] (3)

Рис. 3. Зависимость коэффициентов самодиффузии ПС в  $\text{CCl}_4$  от молекулярной массы при  $c = 10$  г/дл

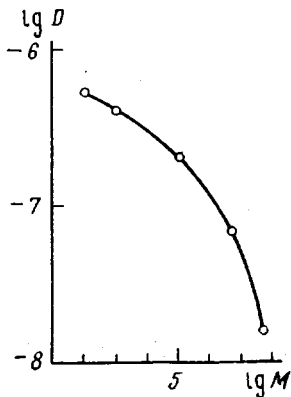


Рис. 3

Таким образом, уменьшение  $D$  в области достаточно малых концентраций можно описать при помощи экспоненциальной зависимости

$$D = D_0 \exp(-k_d c) = kT/f_0 \exp(k_d c), \quad (2)$$

где  $k$  — постоянная Больцмана,  $T$  — температура,  $D_0$  — коэффициент самодиффузии, а  $f_0$  — коэффициент поступательного трения макромолекул при бесконечном разбавлении. Постоянная  $k_d$ , характеризующая скорость изменения коэффициентов самодиффузии с ростом концентрации и начальный наклон концентрационных кривых на рис. 1, зависит от молекулярной массы полимера.

Соотношение (2) в области малых значений  $k_d c$  согласуется с известным выражением для концентрационной зависимости коэффициента поступательного трения макромолекул в разбавленных растворах, для которых  $[\eta] c < 1$  ( $[\eta]$  — характеристическая вязкость) [4]

$$f = f_0 (1 + k_d c + \dots) \quad (3)$$

Действительно, если знаменатель выражения (2) разложить в ряд по степеням  $k_d c$  и ограничиться первым членом разложения, то получим уравнение, совпадающее с выражением (3) и справедливо только для разбавленных растворов, когда  $k_d c < 0,1$ . Так, для фракции с  $M = 40 \cdot 10^3$   $k_d = 0,13$  и соотношение (3) правильно передает концентрационную зависимость коэффициента поступательного трения для концентрации  $c \sim 1 \text{ г/дл}$ . В более концентрированных растворах изменение коэффициентов  $f$  или  $D$  от  $c$  описывается экспоненциальной зависимостью. Верхняя граница концентрационной области, в которой сохраняется такая зависимость, определяется, как видно из рис. 1, молекулярной массой фракции.

Согласно гидродинамической теории Ямакава [5], коэффициент  $k_d$  в выражении (3) зависит от качества растворителя, молекулярной массы полимерной молекулы и для гибкоцепных макромолекул с достаточно большой степенью полимеризации может быть представлен в виде

$$k_d = \lambda A_2 M, \quad (4)$$

где  $A_2$  — второй вириальный коэффициент, а  $\lambda$  — параметр, зависящий главным образом от эффективного исключенного объема сегмента, принимает значения от 1,345 для  $\theta$ -растворителя до 1,1 для хорошего растворителя. Полученные в данной работе численные значения константы  $k_d$  даны на рис. 2 в виде зависимости  $k_d$  от  $M$  и сравниваются с рассчитанными в работе [5] значениями этого коэффициента для растворов ПС в толуоле (хороший растворитель) и метилэтилкетоне (плохой растворитель) при 25°. График зависимости параметра  $k_d$  от молекулярной массы для растворов ПС в  $CCl_4$  занимает промежуточное место между аналогичными зависимостями для растворов в толуоле и метилэтилкетоне, что вполне объяснимо, поскольку значение  $k_d$  пропорционально величине  $A_2$ , зависящей от качества растворителя. Если же о качестве растворителя судить по параметрам растворимости [6], то рассматриваемые растворители располагаются в ряду толуол — четыреххлористый углерод — метилэтилкетон.

Из рис. 1 может быть построена зависимость  $\lg D$  от  $\lg M$  при произвольно выбранной концентрации. На рис. 3 для концентрации  $c = 10 \text{ г/дл}$  построена зависимость, которая описывается уравнением

$$D = K \cdot M^{-\beta},$$

где  $K$  и  $\beta$  — величины, зависящие от концентрации, а  $\beta$  еще и от молекулярной массы. Подобные зависимости наблюдаются для наибольшей ньютоновской вязкости концентрированных растворов гибкоцепных полимеров и, в частности, ПС [7], для которых параметр  $\beta$  принимает значения от 0,5 до 3,4, причем наблюдается постепенное увеличение параметра  $\beta$  с ростом  $M$ , а предельное значение  $\beta = 3,4$  для концентрации 10 г/дл достигается при  $M \geq 10^6$ . Полученные из графика зависимости  $\lg D$  от  $\lg M$  (рис. 3) значения  $\beta$  лежат в интервале от 0,72 до 2,9 при изменении  $M$  от  $25 \cdot 10^3$  до  $360 \cdot 10^3$ . Эти результаты указывают на одинаковую зависимость коэффициента самодиффузии и наибольшей ньютоновской вязкости растворов от молекулярной массы, что, по-видимому, и следовало ожидать, поскольку наибольшая ньютоновская вязкость определяется подвижностью полимерных цепей в системе.

Казанский государственный университет  
им. В. И. Ульянова-Ленина

Поступила в редакцию  
5 VII 1977

#### ЛИТЕРАТУРА

1. В. Д. Скирда, А. Г. Стежко, Г. Г. Пименов, Приборы и техника эксперимента, 1976, № 3, 131.
2. E. O. Steishel, J. E. Tanner, J. Chem. Phys., 42, 288, 1965.
3. J. E. Tanner, Kang-Jen Lin, J. E. Anderson, Macromolecules, 4, 586, 1971.

4. В. Н. Цветков, В. Е. Эскин, С. Я. Френкель, Структура макромолекул в растворах. «Наука», 1964, стр. 380.
5. H. Yamakawa, J. Chem. Phys., 36, 2995, 1962.
6. Ю. С. Липатов, А. Е. Нестеров, Т. М. Гриценко, Р. А. Веселовский, Справочник по химии полимеров, «Наукова думка», 1971, стр. 424.
7. S. Onogi, T. Masuda, N. Miyanaga, Y. Kimura, J. Polymer Sci., 5, A-2, 899, 1967.

УДК 541.64:547(538.141+241)

## О МЕХАНИЗМЕ СОПОЛИМЕРИЗАЦИИ ФЕНИЛДИХЛОРФОСФИНА СО СТИРОЛОМ В ПРИСУТСТВИИ НИТРИЛОВ

*Рафиков С. Р., Казакова Н. Д., Ирискина Л. Б.*

В последнее время возрос интерес исследователей к фосфорорганическим мономерам и полимерам, как наиболее перспективным антипиренам полимерных материалов. При сополимеризации производных трехвалентного фосфора с винильными мономерами под действием радикальных инициаторов можно получать сополимеры, содержащие атомы фосфора в главной цепи макромолекул, обладающих пониженной горючестью и рядом других ценных свойств [1, 2]. Найдены константы относительной реакционной способности и исследованы некоторые кинетические закономерности реакции сополимеризации арилдихлорфосфинов с дивинилом [3], фенилдихлорфосфина (ФДФ) с метилметакрилатом [4] и стиролом [5]. Эффективными инициаторами сополимеризации являются азонитрилы. В работе [6] предполагается, что начальный акт инициирования происходит за счет взаимодействия цианизопропильного радикала с арилдихлорфосфином, возможно, с частичным переносом заряда. Однако детальных исследований по механизму таких реакций нет.

Настоящая работа посвящена выяснению некоторых особенностей реакции сополимеризации ФДФ и стирола в присутствии ДАК, а также других нитрилов, не способных в обычных условиях распадаться на свободные радикалы.

ФДФ получали по методике [7], дважды перегоняли в токе аргона при 82,5°/5 тор;  $n_{D^{20}}$  1,5945; хранили в запаянных ампулах.

Стирол очищали от стабилизатора обычным способом [8], сушили над  $\text{CaCl}_2$  и  $\text{CaH}_2$ , дважды перегоняли в вакууме при 56°/36 тор,  $n_{D^{20}}$  1,5460. ДАК дважды перекристаллизовывали из ацетона, сушили в вакууме до постоянного веса, т. пл. 100–101°.

Нитрилы тщательно высушивали и перегоняли над  $\text{P}_2\text{O}_5$ : ацетонитрил 80°/692 тор,  $n_{D^{20}}$  1,3440; бензонитрил 188°/692 тор,  $n_{D^{20}}$  1,5250; динитрил адипиновой кислоты 182°/20 тор,  $n_{D^{20}}$  1,4598; терефталонитрил очищали многократной перекристаллизацией из этилового спирта, т. пл. 222°.

Четыреххлористое олово перегоняли над  $\text{P}_2\text{O}_5$  при 108°/698 тор. Хлористый водород получали по методике [9].

Сополимеризацию ФДФ со стиролом (30 : 70 мол. %) проводили в массе при 60° в присутствии 1,5 мол. % инициатора. Начальную кинетику изучали дилатометрическим методом.

Электронные спектры поглощения снимали на спектрофотометре Hitachi в очищенном гептапре при концентрации  $10^{-3}$ – $10^{-4}$  моль/л.

ЭПР-спектры записывали на приборе РЭ-1301. Концентрация ДАК в растворе исходных мономеров составляла 2%.

ПМР-спектры снимали на приборе НМ-100-3Н в дейтерированном ацетоне. Внутренним эталоном служил тетраметилсилан.

Ранее нами было показано, что сополимеризация инициируется значительными количествами ДАК, и порядок по инициатору больше 0,5 [10]. Отклонение от идеальной кинетики свободнорадикальной полимеризации можно объяснить ингибирующим действием ФДФ [11, 12] и образованием промежуточных комплексных соединений между инициатором и одним из